ESTIMATION OF NEAR-SURFACE SEISMIC ATTENUATION THROUGH VSP SURVEYING





Autori: Francesco Saverio Desideri Michele Cercato

OBIETTIVI DEL LAVORO

Implementazione metodi per la stima dell'attenuazione tramite indagini in foro

Ottimizzare il processo di elaborazione in condizioni near-surface

Evidenziare criticità e problematiche dovute al particolare campo d'onda

Confrontare i risultati sperimentali tra i metodi

ATTENUAZIONE SISMICA

Utilizzando la definizione data da Knopoff, possiamo definire il fattore Q come il rapporto tra l'energia accumulate E e l'energia dissipata ΔE , ad ogni ciclo di eccitazione armonica all'interno dello stesso volume.

Alcuni valori tipici riguardo il fattore di qualità longitudinle sono elencati da Knopoff:

| SILICIO (silica) | 1250 |
|----------------------|------|
| CALCARE (limestone) | 110 |
| PIOMBO (lead) | 36 |
| ARENARIA (sandstone) | 21 |



I valori di Q cambiano per ogni tipo di roccia a causa di vari fattori quali: MICROFRATTURE, PRESSIONE, SATURAZIONE, GRANULOMETRIA etc.



METODI SPERIMENTALI

Sono molti i metodi utilizzati per la misura sperimentale dell'attenuazione, o, in maniera analoga, del suo inverso, ovvero il fattore di Qualità. Una review sulle varie metodologie è presente in *Tonn*, 1991.

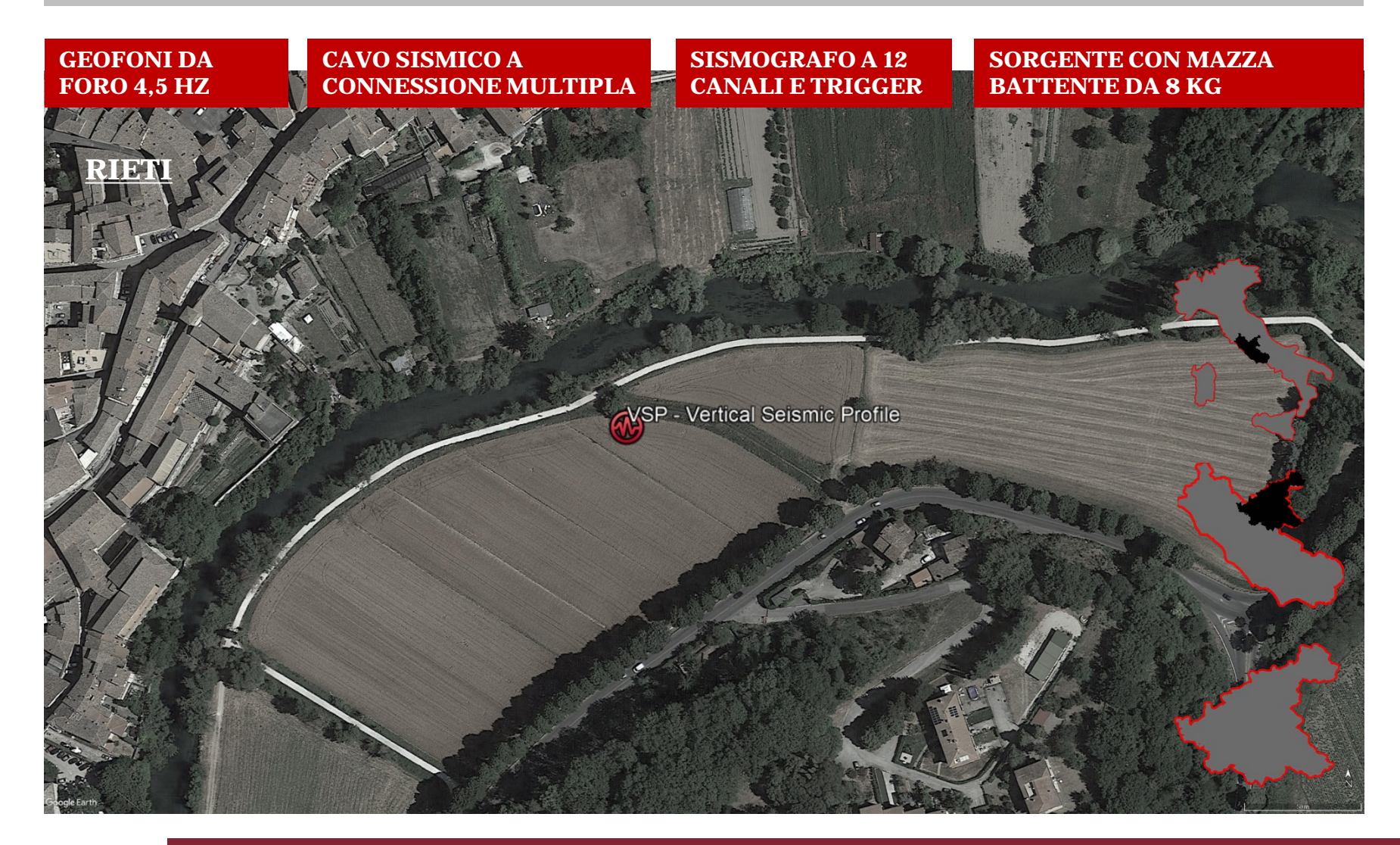


- £
- **DOMINIO DELLA FREQUENZA**

- Amplitude Decay Method;
- Analitical Signal;
- Wavelet Modelling;
- Phase Modelling;
- Frequency Modelling;
- RISETIME METHOD:
- Pulse Amplitude Method.

- Matching Technique;
- Spectral Modelling;
- SPECTRAL-RATIO METHOD:

STRUMENTAZIONE PER NEAR-SURFACE VSP



RELIABLE ATTENUATION ESTIMATES

Li et al. Tomographic inversion of near-surface Q factor by combining surface and cross-hole seismic surveys

testing geometry should satisfy four conditions to obtain reliable near-surface Q estimates.



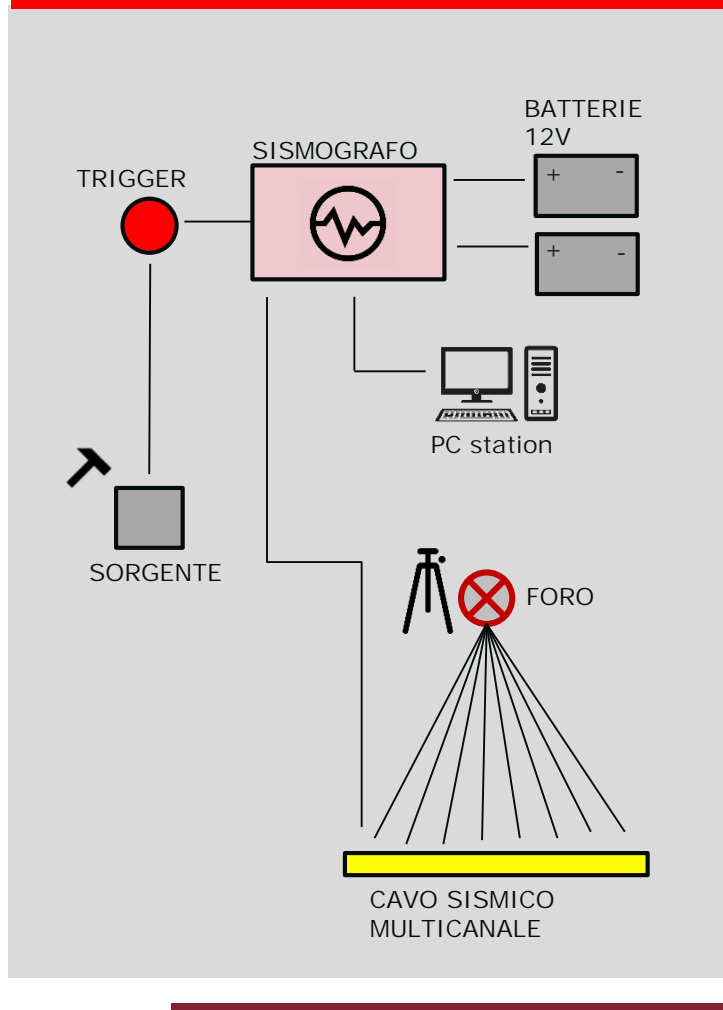




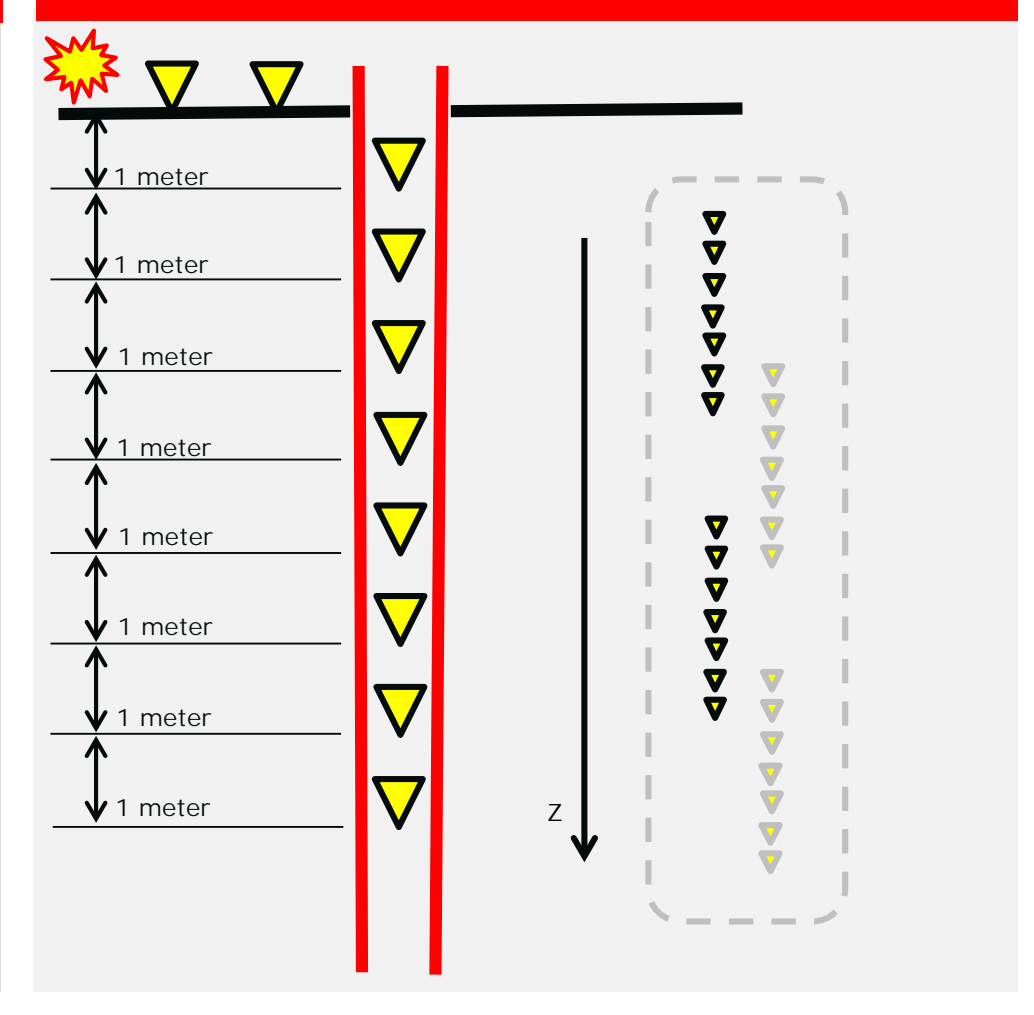


GEOMETRIA DELL'ACQUISIZIONE

SCHEMA INDAGINE



GEOMETRIA INDAGINE



STRUMENTAZIONE UTILIZZATA

- ☐ **GEOFONI** VERTICALI a canale singolo, 2 in superficie ed 8 collegati ad 1 metro di interdistanza;
- □ CAVO SISMICO MULTICANALE ,lunghezza totale: 48 metri, 24 take-off;
- ☐ SISMOGRAFO Geode Geometrics;
- □ **SORGENTE IN ALLUMINIO**, radius 30 cm, con mazza battente da 6,5 kg;
- ☐ BATTERIE 12V;
- ☐ TREPPIEDE per il posizionamento dei cavi all'interno del foro;
- ☐ TRIGGER

DETTAGLI FORO DI INDAGINE

- □ **Lat**: 42°,402415
- **□ Long:** 12°,866859
- ☐ Material: PVC pipe with a 3" diameter and 0.5 cm
 - thickness;
- ☐ Cementation: consisting of water, cement and

bentonite



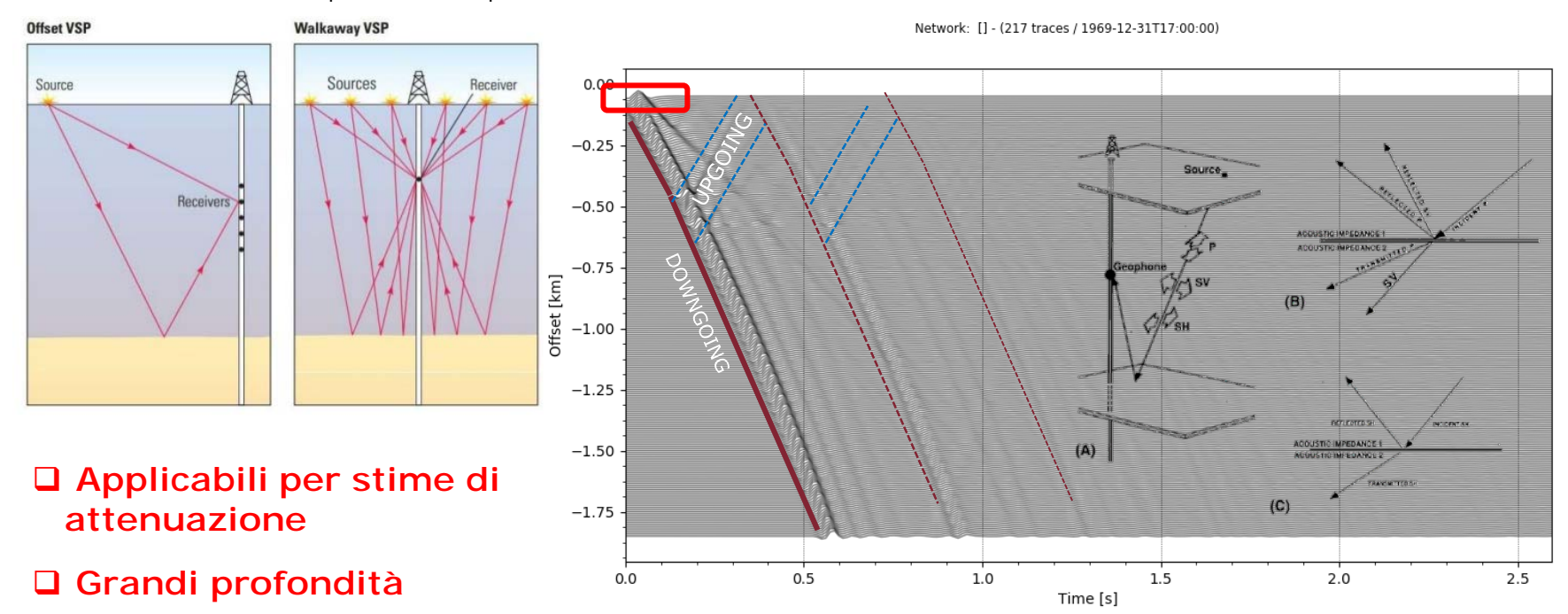


PARAMETRI DI ACQUISIZIONE

| Frequenza di campionamento (Hz) | Numero di campioni (n) | Intervallo di campionamento | Lunghezza della registrazione |
|---------------------------------|---------------------------|-----------------------------|-------------------------------|
| 32000 | 16384 | 0.03125 ms | 512 ms |

VSP (VERTICAL SEISMIC PROFILING)

Nelle misure sismiche in pozzo, denominate VSP, un segnale emesso in superficie viene registrato da un geofono posto di volta in volta a differenti profondità di pozzo.



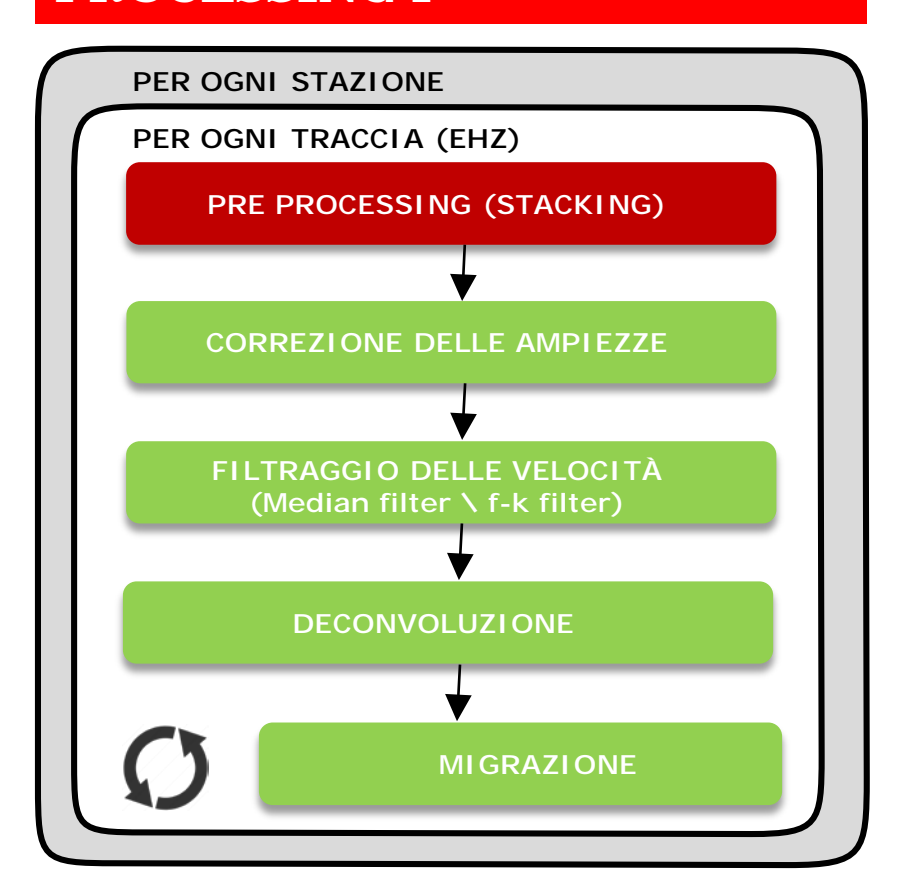
CONFIGURAZIONI

Le tecniche di prospezione sismica in pozzo possono essere considerate come rilievi su piccola scala. I geofoni sono calati nel pozzo per registrare sia le onde ascendenti, sia le onde discendenti (e riflessioni multiple). Esistono tre tipi fondamentali di rilievi VSP: zero-offset VSP, offset VSP, walkaway VSP

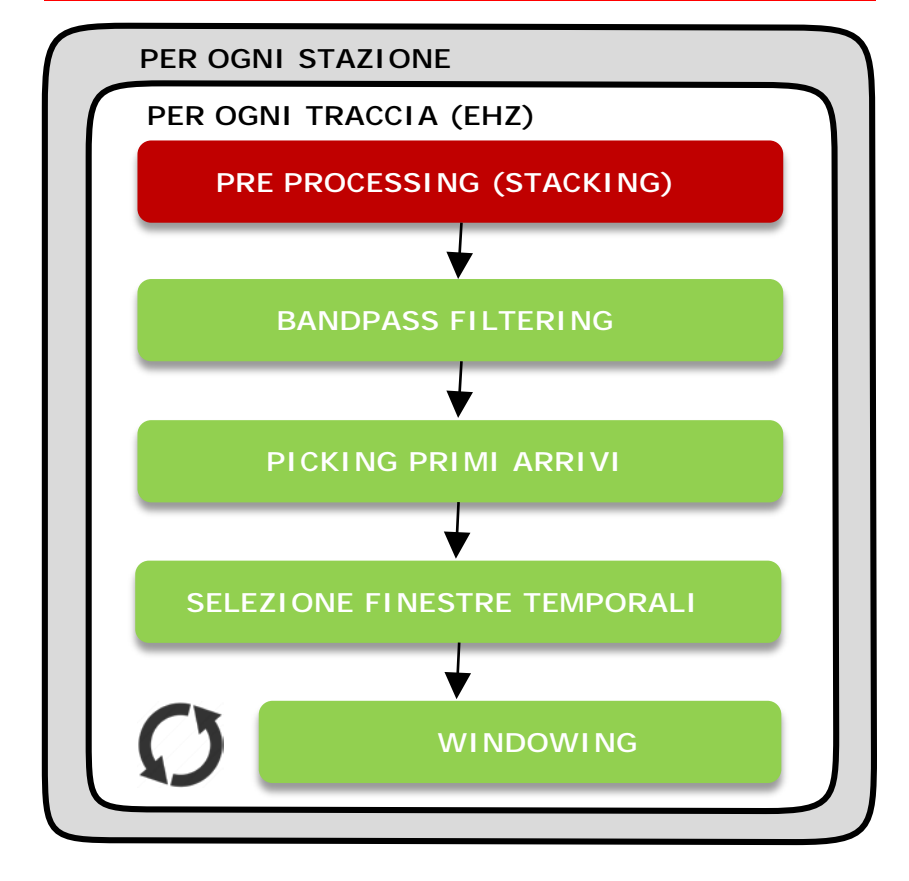
VSP PROCESSING

L'elaborazione dei dati VSP ha lo scopo di estrarre il segnale generato dalle superfici riflettenti e di descriverne l'andamento geometrico in una sezione verticale bidimensionale. L'immagine contiene il profilo del pozzo e indica l'estensione laterale delle caratteristiche fisiche individuate.

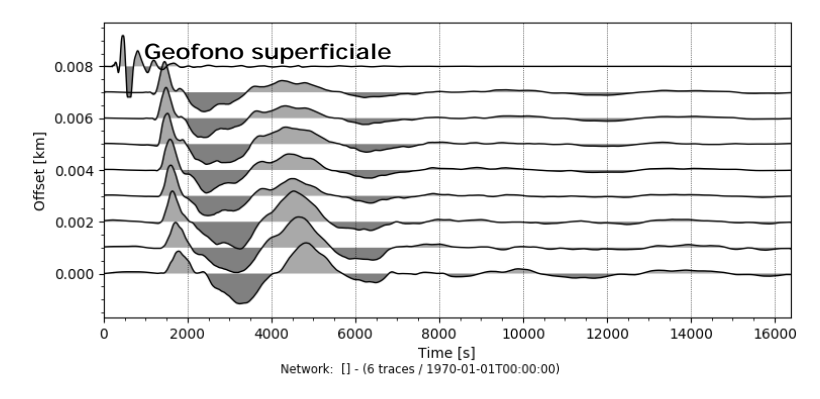
PROCESSING 1

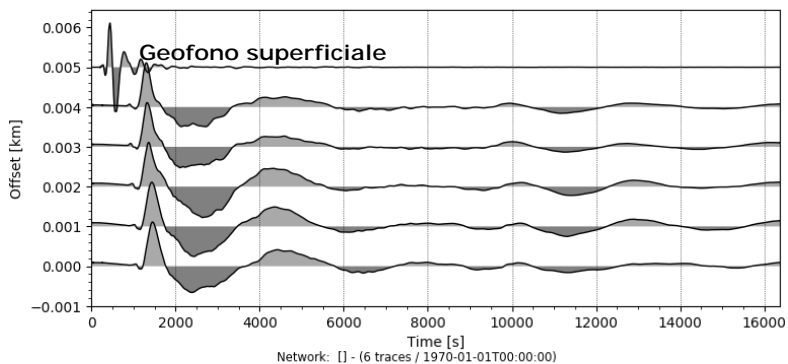


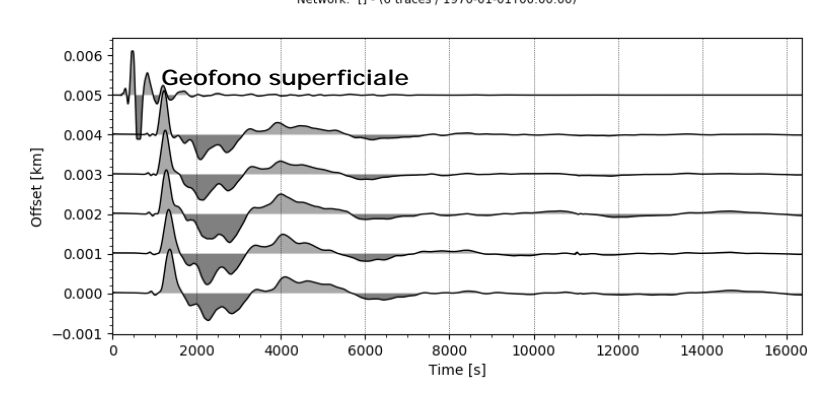
PROCESSING 2

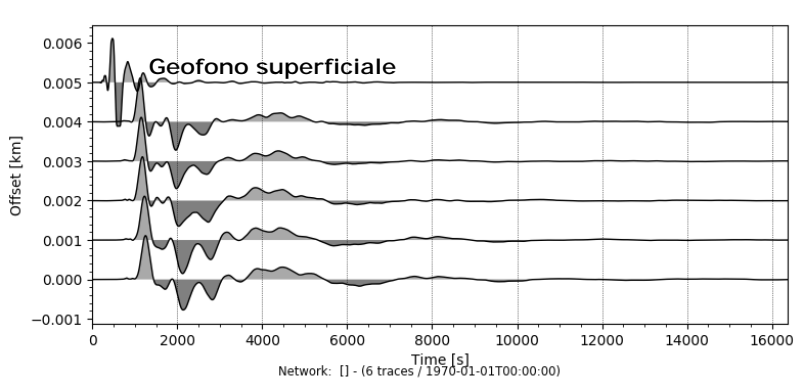


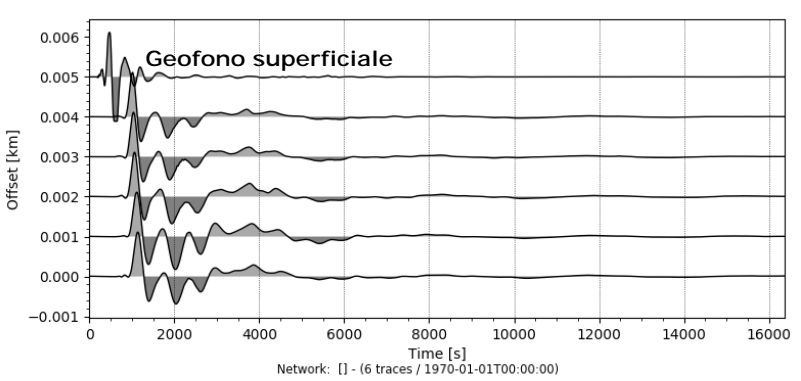
SEISMIC GATHERS

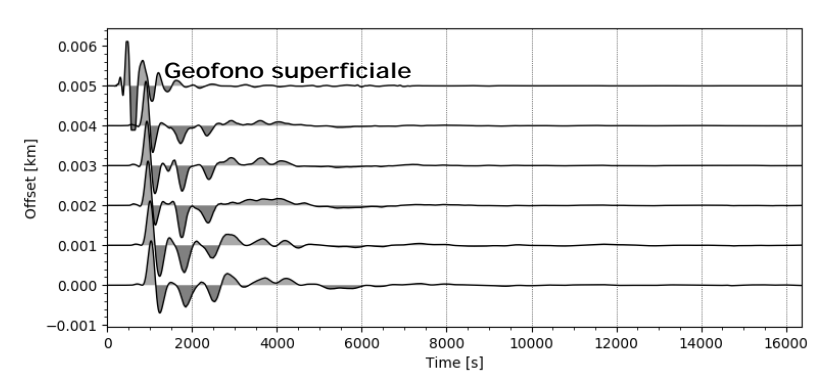




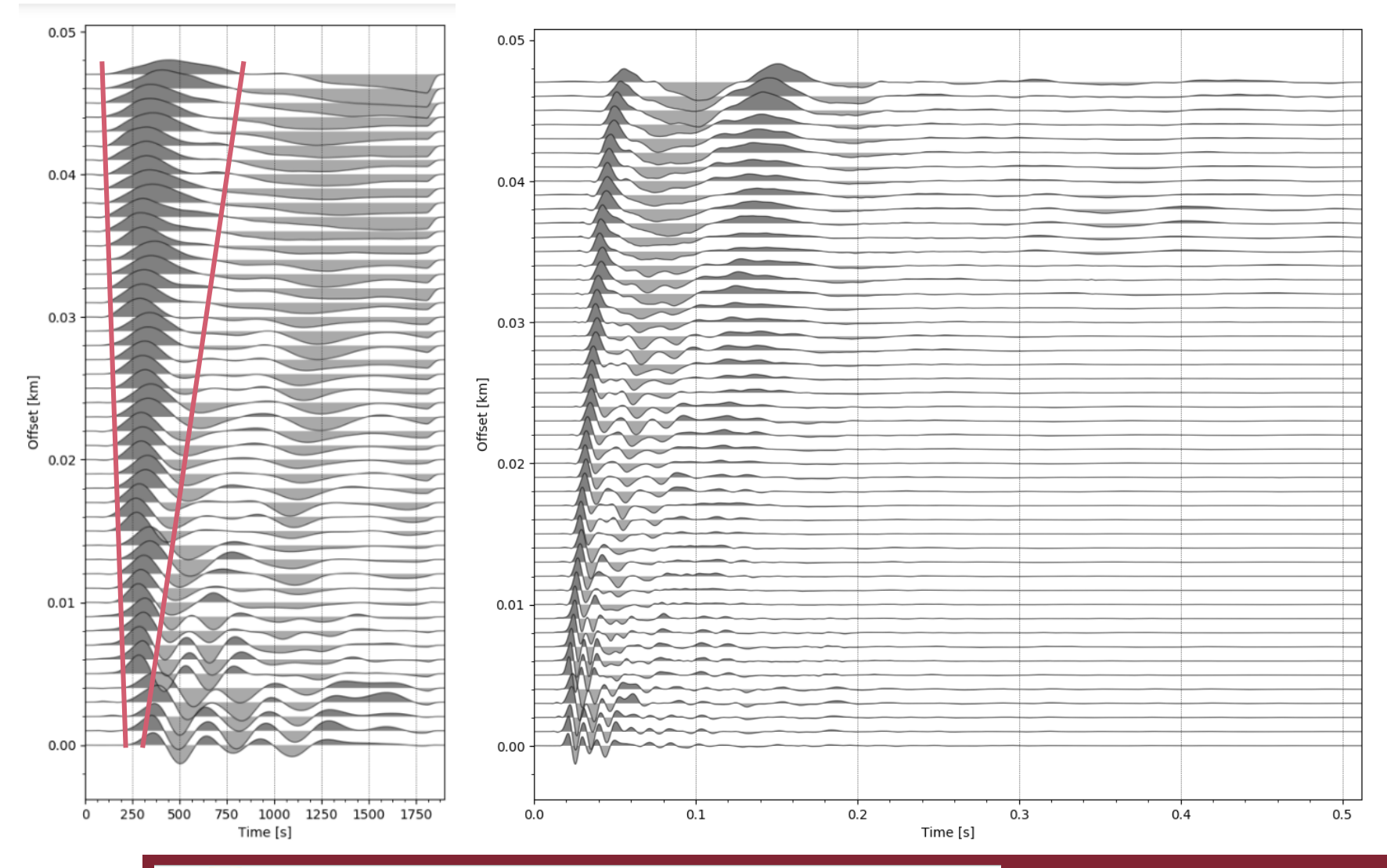








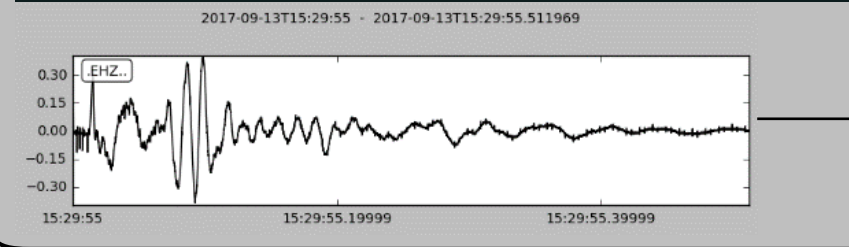
FULL PROCESSING SEISMIC GATHER

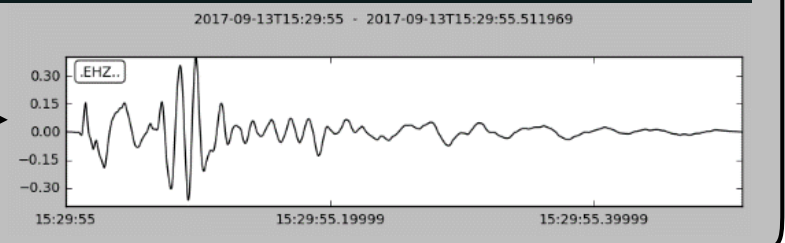


VSP PROCESSING

BANDPASS FILTERING

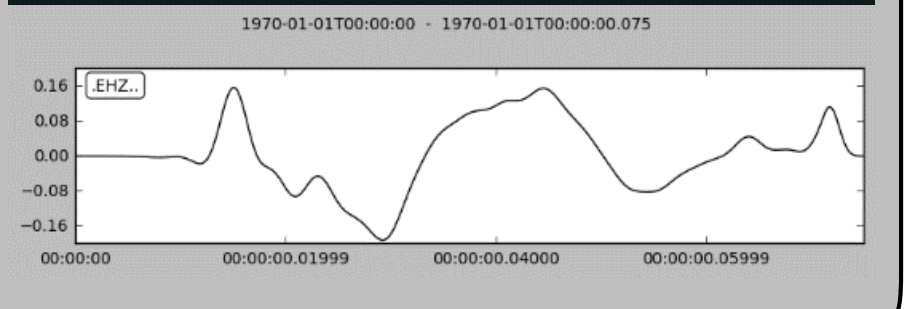
L'inserimento di un filtro passa-banda ha lo scopo di eliminare tutti i disturbi indesiderati facendo passare solamente la banda di frequenza sismica.





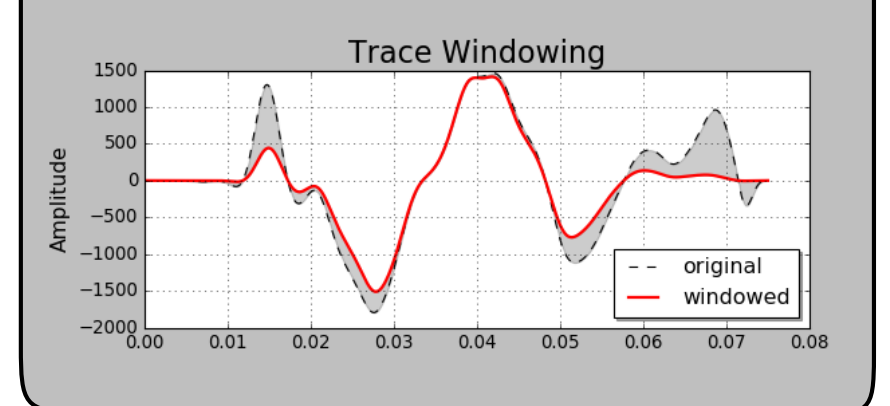
PICKING E SELEZIONE FINESTRE TEMPORALI

Viene effettuato il picking dei primi arrivi e selezionata una finestra di segnale pari a circa 10 ms nell'intorno del primo arrivo (first arrival time)



WINDOWING

Per il miglioramento dello spettro viene applicata una funzione finestra di tipo Blackman-Harris



STATION RATIO

L'ampiezza di un'onda sismica può essere indicate come il prodotto di più funzioni:

$$A(\omega) = S(\omega) \cdot I(\omega) \cdot G(\omega) \cdot C(\omega) \cdot M(\omega)$$

dove

 $S_1(\omega)$ Funzione sorgente

 $I(\omega)$ Risposta strumentale

 $G(\omega)$ Dispersione geometrica

 $C(\omega)$ Effetti crostali

 $M(\omega)$ Effetti di propagazione nel mantello

$$M(\omega) = e^{-ft^*} = e^{-\pi f \int \frac{ds}{QV}}$$

Ipotizzando di avere la stessa funzione sorgente e la stessa risposta strumentale:

$$S_1(\omega) = S_2(\omega)$$
 $I_1(\omega) = I_2(\omega)$

$$\ln \left| \frac{A_1(\omega)}{A_2(\omega)} \right| = \ln \frac{G_1}{G_2} \left| \frac{C_1(\omega)}{C_2(\omega)} \right| - \omega \pi \left| \int \frac{ds_1}{QV} - \int \frac{ds_2}{QV} \right|$$

Facendo il logaritmo del rapporto tra le ampiezze spettrali diventa una equazione di una retta del tipo

$$Y = -mx + q$$

Dove:

$$\ln \left| \frac{A_1(\omega)}{A_2(\omega)} \right| \longrightarrow \begin{array}{c} \text{RAPPORTO} \\ \text{SPETTRALE} \\ \text{RIDOTTO} \end{array}$$

$$\int \frac{ds_1}{QV} - \int \frac{ds_2}{QV} = t_1^* - t_2^* \implies \begin{array}{c} \text{ATTENUAZIONE} \\ \text{DIFFERENZIALE} \end{array}$$

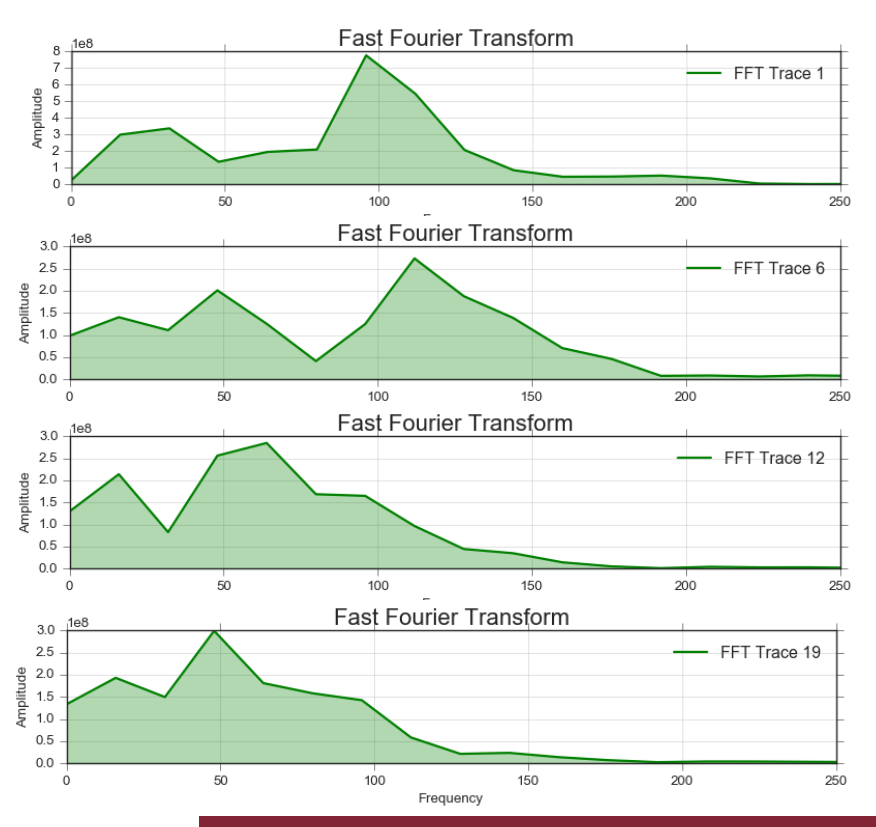
Per estrarre il valore di Q dall'attenuazione differenziale esistono tre metodi:

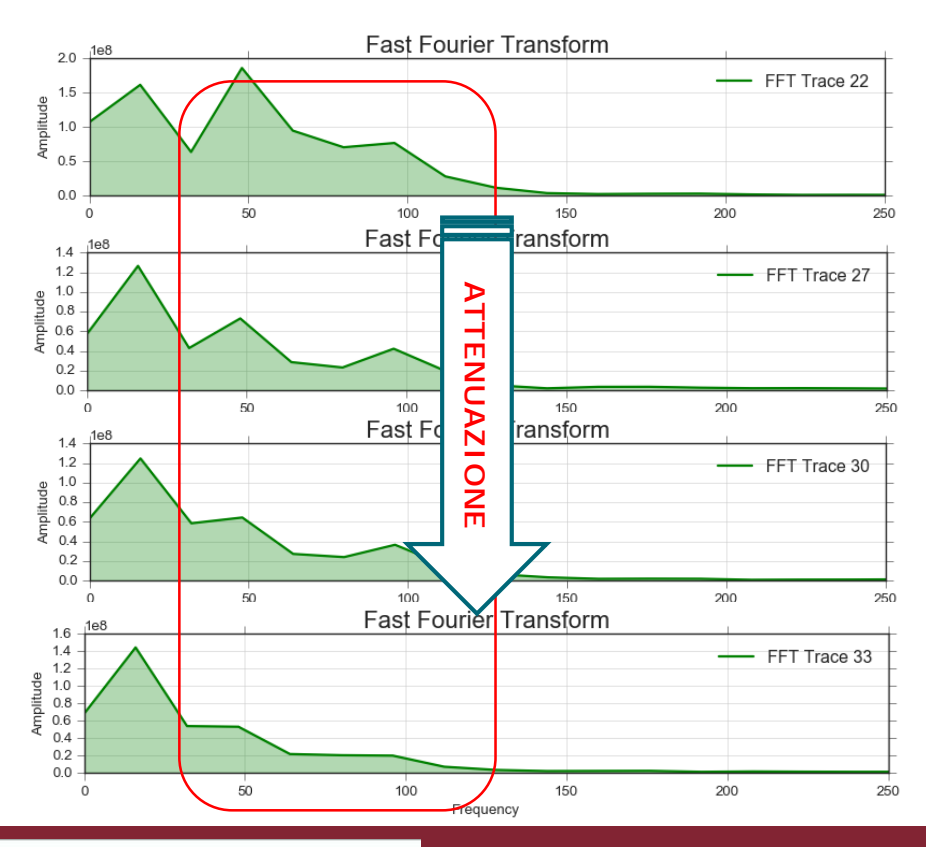
- CALCOLO DIRETTO DELL'INTEGRALE A DESTRA;
- INVERSIONE DELLA MATRICE DEI TEMPI DI PROPAGAZIONE;
- METODO DI RILASSAMENTO SUCCESSIVE (TRIAL AND ERROR).



O1 FAST FOURIER TRANSFORM

$$X [k\Delta f] = \sum_{n=0} x [n\Delta t] e^{-j2\pi kn/N}$$

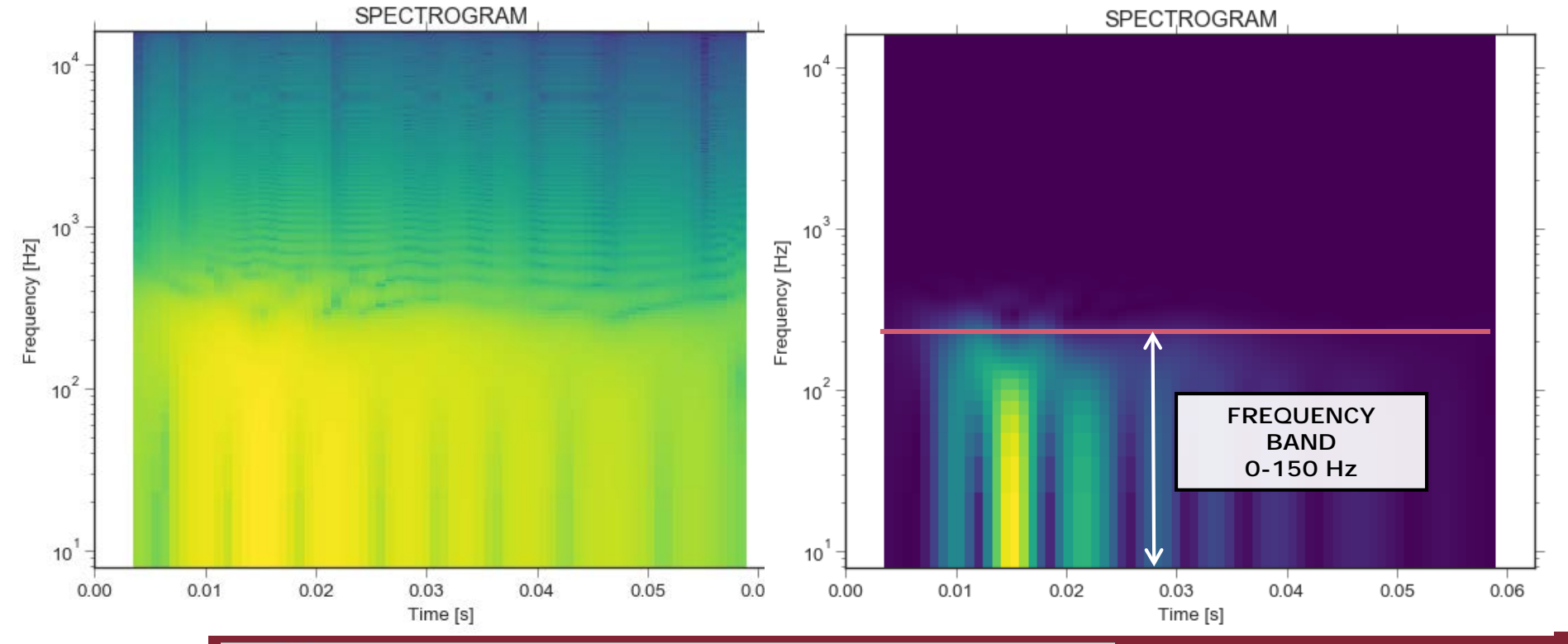




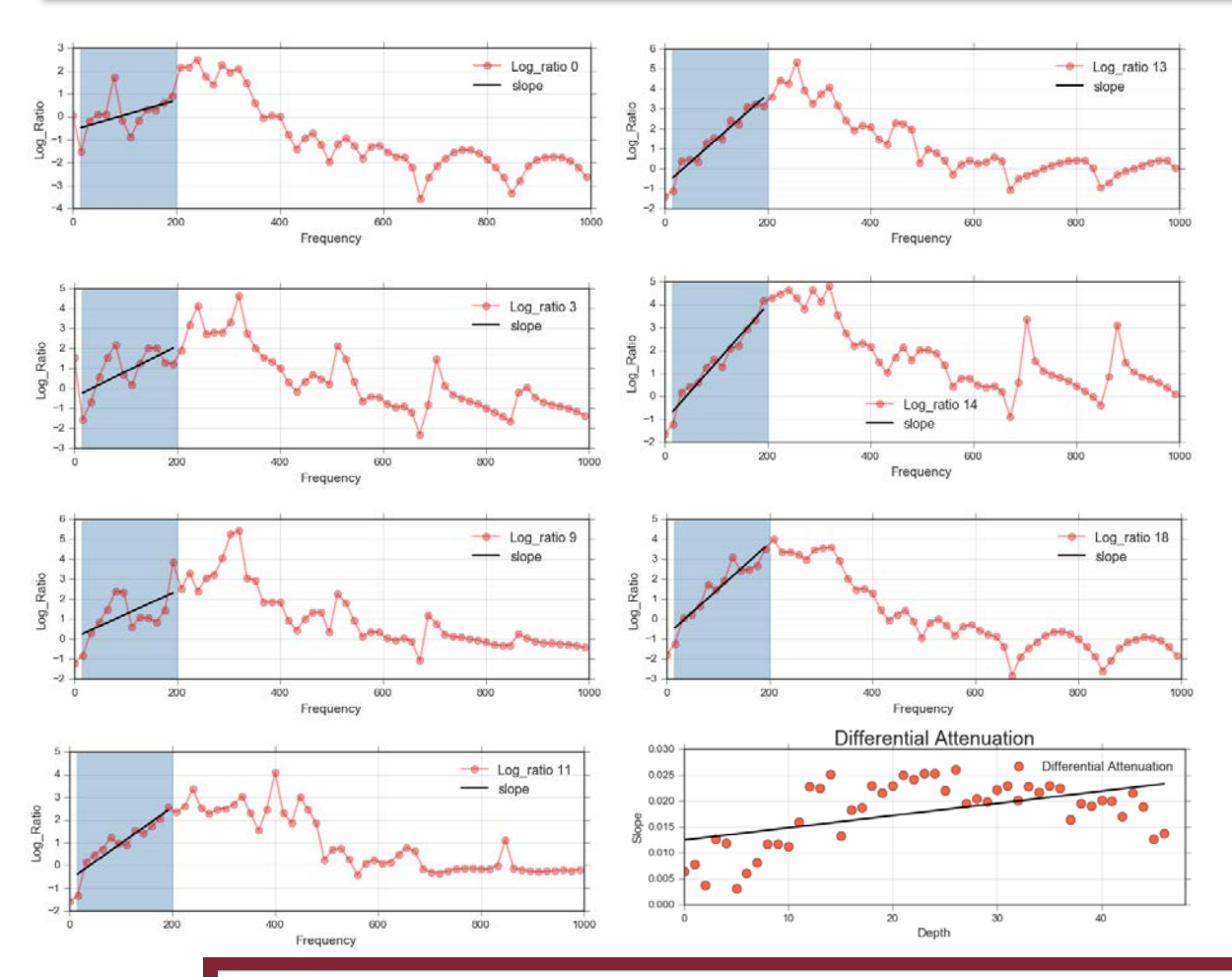
O2 BANDA DI FREQUENZA

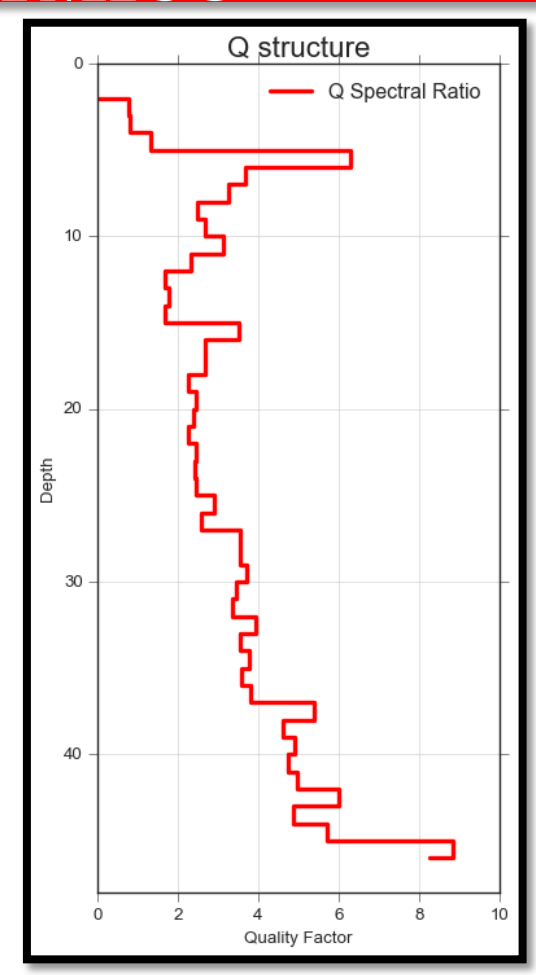
Un punto chiave nell'elaborazione del metodo è la scelta della corretta banda di frequenza su cui operare la regressione.

- ☐ SNR alto;
- ☐ Valori massimi dello spettro in ampiezza;



O3 RAPPORTO LOGARITMICO

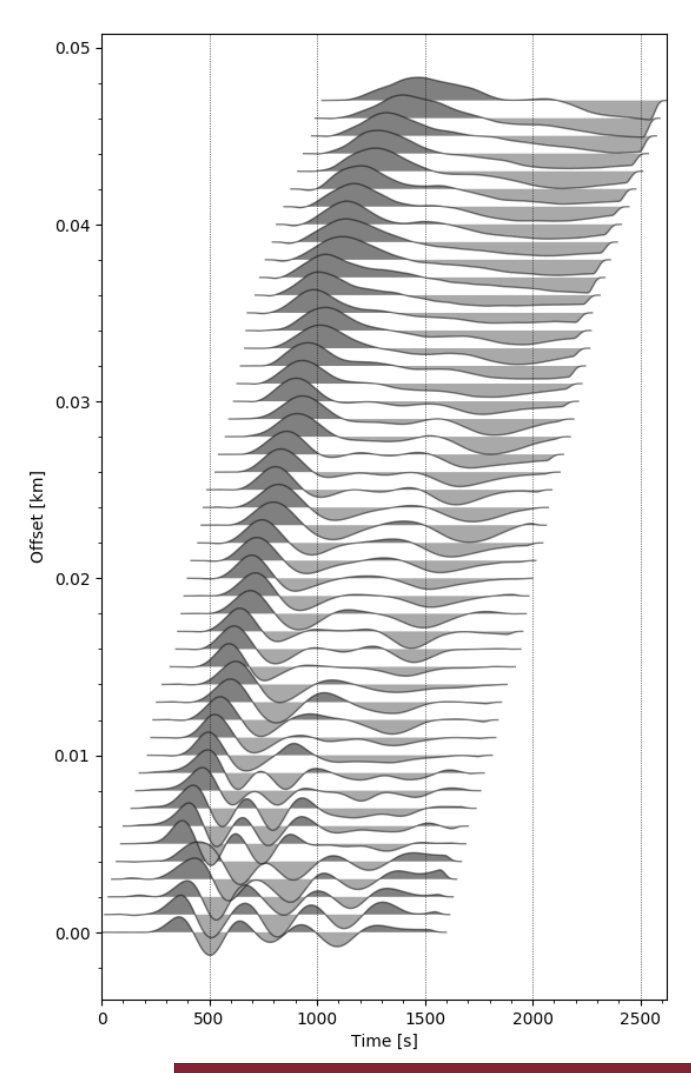






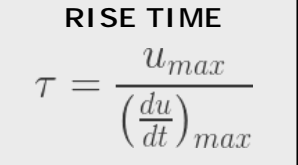
RISE TIME METHOD

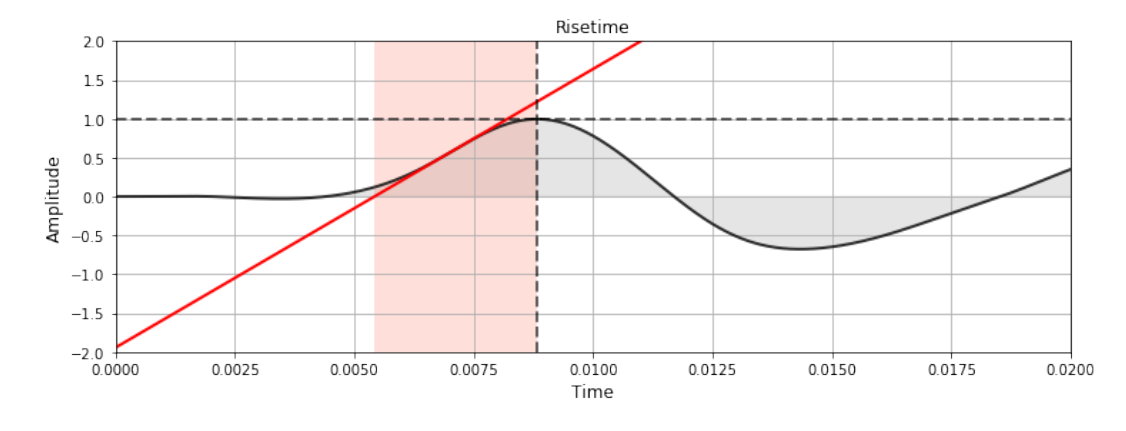
Network: [] - (48 traces / 1970-01-01T00:05:16)



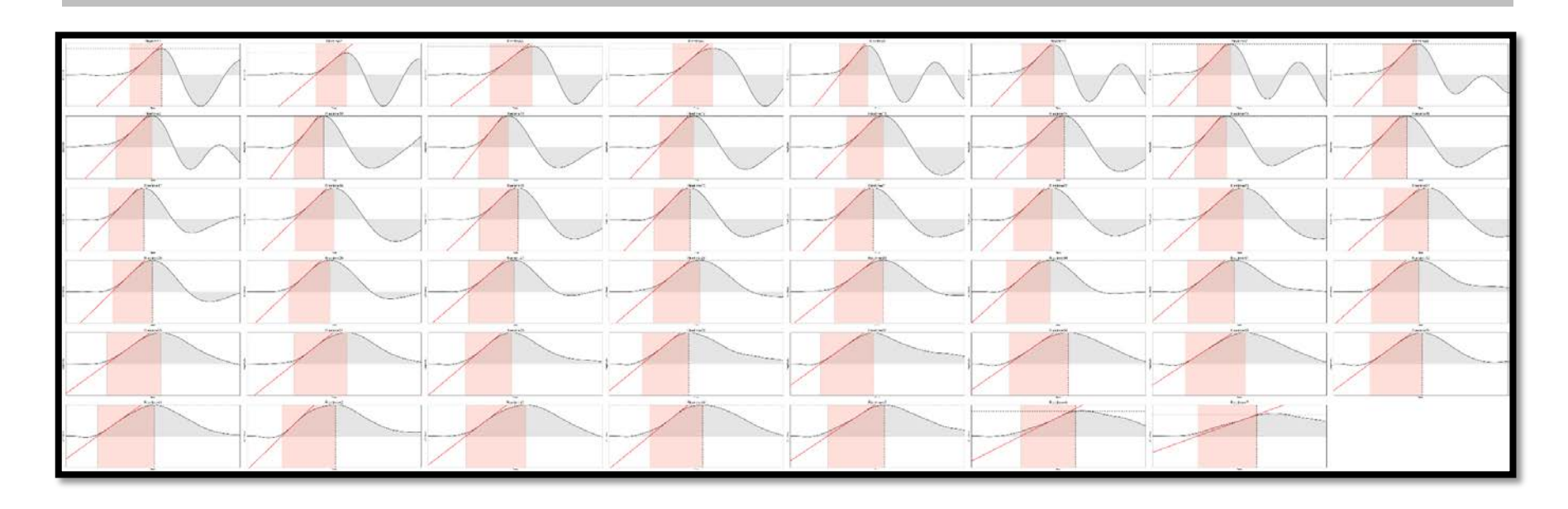
☐ Un modello matematico per descrivere realisticamente la dispersione dell'impulso in un mezzo non omogeneo è stato sviluppato da *Gladwin & Stacey (1974)* e *Stacey et al.(1975):*

$$\tau = \tau_0 + C \int_{ray}^{\cdot} \frac{ds}{V_P Q_P} = \tau_0 + C \int_{ray}^{\cdot} \frac{dt}{Q_P}$$



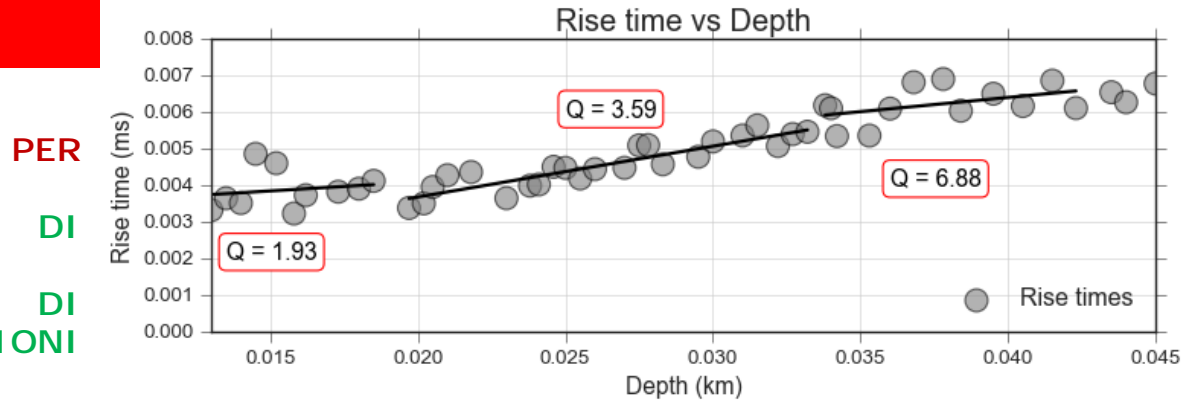


RISE TIME METHOD



ANALISI CRITICA

- STIMA Vp;
- VALORI NON AFFIDABILI PER PICCOLI STRATI;
- RICHIEDE UNA FINESTRA D REGISTRAZIONE MINORE;
- STABILE PER EFFETTI DI SCATTERING E RIFLESSIONI MULTIPLE.



CONFRONTO TRA I DUE METODI

Sui dati di Rieti ottenuti tramite un'indagine near-surface VSP è stato possibile operare un confronto tra i due metodi.

| Quality Factor (Q _P) | | |
|---|-----------------------|----------|
| Depth range (m) | Spectral Ratio (mean) | Risetime |
| 0-8 (terreno da riporto e sabbie medio-fini) | 1.41 | 1.93 |
| 8-32 (ghiaie) | 2.69 | 3.59 |
| 32-47 (sabbie ghiaiose) | 4.31 | 6.88 |



- □ STIMA DI QP TRAMITE INDAGINI SISMICHE IN FORO IN CONDIZIONI NEAR-SURFACE;
- ☐ IMPLEMENTAZIONE E CONFRONTO TRA I DUE METODI DI INDAGINE;
- □ FORNIRE UN PARAMETRO AGGIUNTIVO PER LE CARATTERIZZAZIONI DI SITO E MODELLAZIONI SISMICHE.

